

DEGRADAÇÃO E PROTEÇÃO MATERIAIS

Corrosão associada a fatores mecânicos

Profa. Maria Ismenia Sodero maria.ismenia@usp.br



Corrosão associada a fatores mecânicos



- Os principais tipos de corrosão associadas a fatores mecânicos são:
 - ✓ Corrosão por colisão
 - ✓ Corrosão por cavitação
 - ✓ Corrosão por atrito
 - ✓ Corrosão por fadiga
 - ✓ Corrosão sob tensão



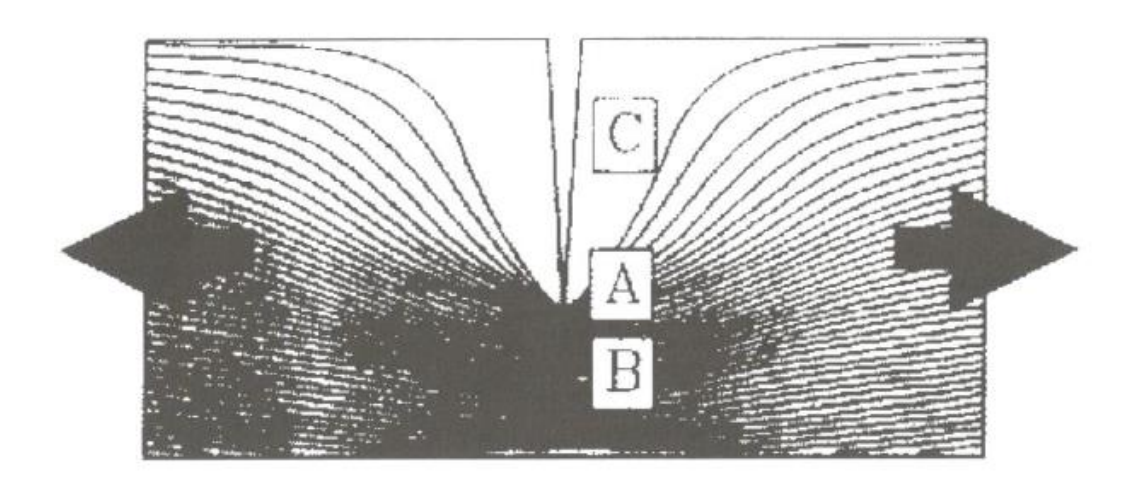
Fratura em estojo de munição feito com latão



Corrosão sob tensão - Stress Corrosion Cracking Fatores de influência

Tensões

- ✓ As tensões internas surgem por meio das operações de conformação mecânica, dos tratamentos térmicos, dos tratamentos de superfície, dos gradientes térmicos;
- ✓ Baixas tensões, a partir de 50% do limite de elasticidade do material, podem provocar corrosão sob tensão;
- ✓ Alta tensão é observada na ponta da fissura
- ✓ Do ponto de vista da distribuição de tensões, o meio corrosivo está em contato com um material altamente heterogêneo.



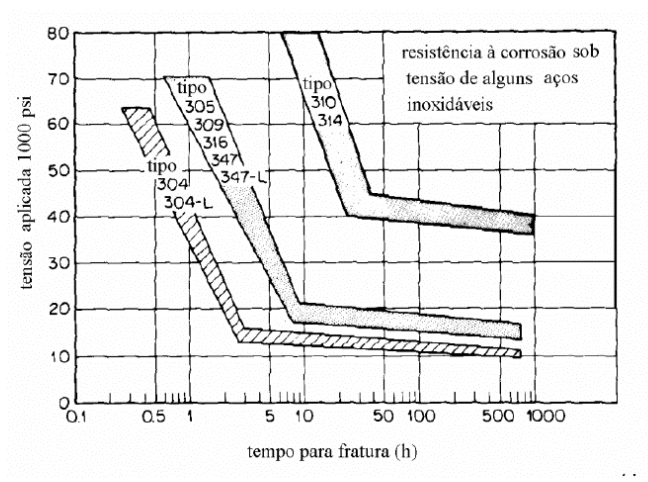


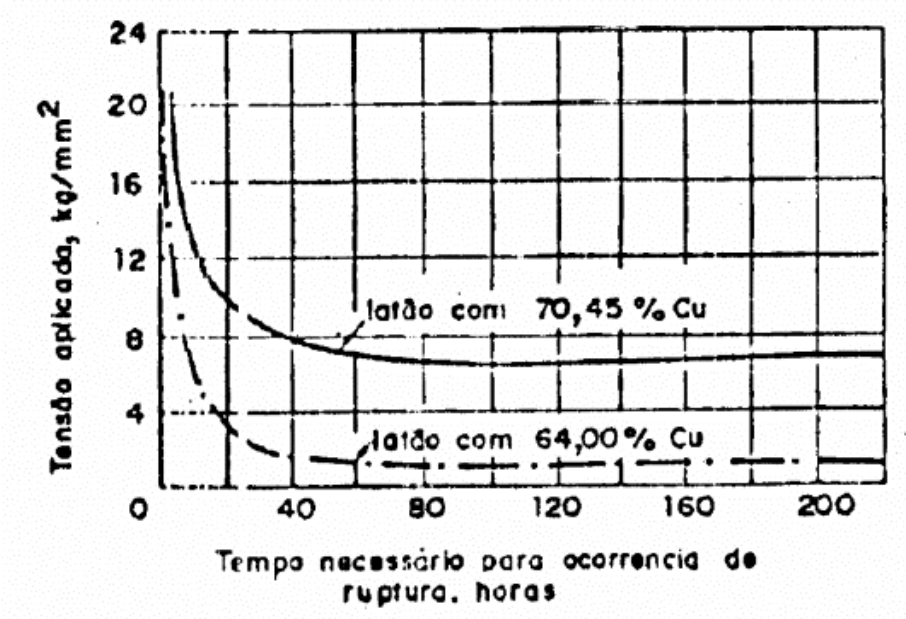
Figura 2.28.: Influência da tensão aplicada sobre o tempo necessário para a ocorrência da ruptura por corrosão sob tensão de alguns aços inoxidáveis em soluções de 42% MgCl₂ em ebulição



Corrosão sob tensão Fatores de influencia

Composição química, Temperatura, Tempo e Meio

Fatores Metalurgicos



Influência da tensão aplicada sobre o tempo necessário para a ocorrência da ruptura por corrosão sob tensão de dois latões em vapores de NH₄OH

Tabela 2.9.: Influência da composição do meio sobre a ocorrência da corrosão sob tensão.

| Material | Meio | Ocorrência da corrosão sob tensão | | |
|------------------------------|---------------------------------------|---|--|--|
| Aço carbono | NaC1 | NÃO, mas há corrosão generalizada | | |
| | Ca(NO ₂) ₂ | SIM, mas não há corrosão generalizada | | |
| | NO ₃ | SIM, fratura intergranular | | |
| | HCN | SIM, fratura transgranular | | |
| Aço Inox. Austenítico | Cl | SIM + corrosão por pites | | |
| Aço doce (aço carbono 0,15 - | NaOH 33% + | SIM, fratura intergranular | | |
| 0,25%C) | PbO ₂ 0,1% | | | |
| | Ebulição | | | |
| | NaOH 33% + | SIM, fratura intergranular | | |
| | Na ₄ SiO ₄ 0,3% | | | |
| | 150°C | | | |
| Aço (0,4 C, 1,5 Mn, 0,16 Mo | Contendo H ₂ S | SIM, aumenta com o teor de H ₂ S | | |
| | Contendo H ₂ S | SIM, CH ₃ CO ₂ H acelera a corrosão sob tensão. | | |
| | + adição | | | |
| | CH ₃ CO ₂ H | | | |
| Ligas de Mg (65%A1 - 1%Zn | K ₂ CrO ₄ | NÃO | | |
| 0,2% Mn) | | | | |
| | NaC1 | NÃO | | |
| | NaCl + K2CrO4 | SIM | | |

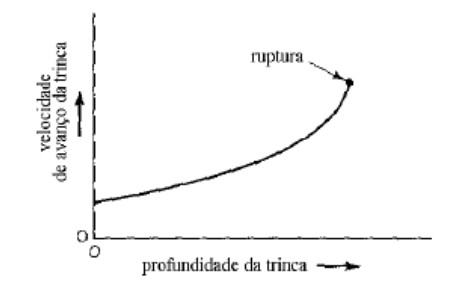


Figura 2.33.: Velocidade de propagação de trinca versus profundidade de trinca durante ensaio de corrosão sob tensão a carga constante

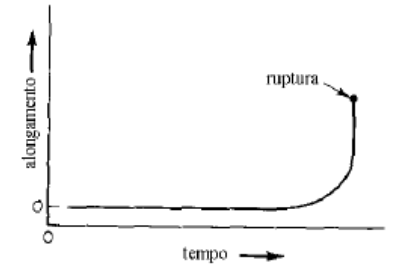


Figura 2.34.: Alongamento versus tempo durante ensaio de corrosão sob tensão a carga constante



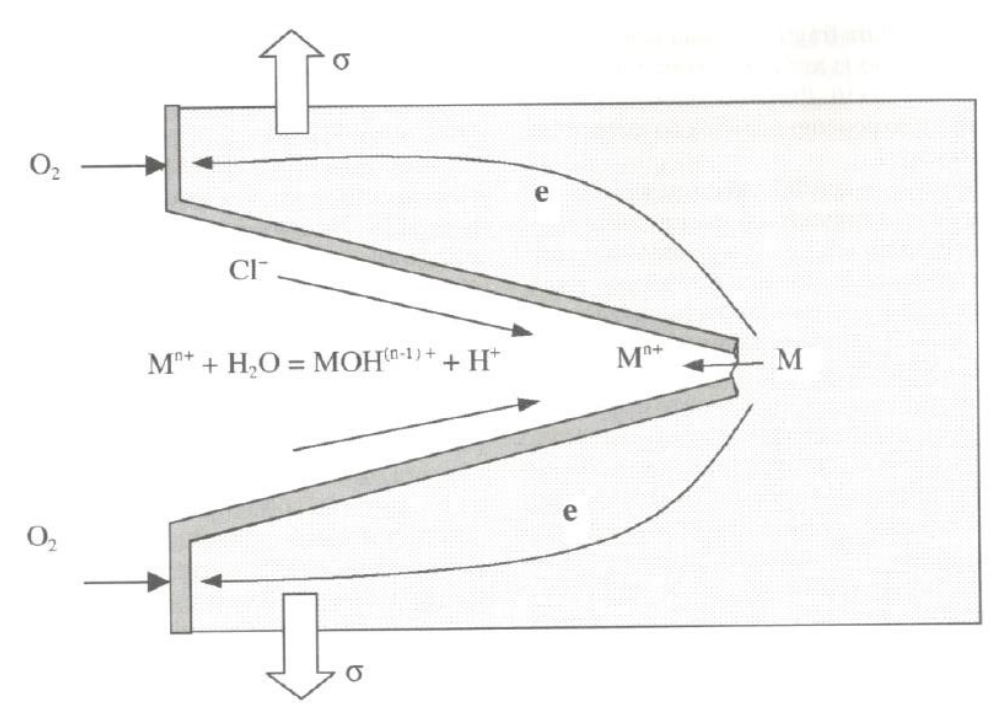
Corrosão sob tensão Mecanismo

- Nucleação da trinca
- Propagação da trinca
- Fratura intergranular ou transgranular.

Quando ocorre a redução do oxigênio na superfície externa e dissolução ativa na ponta da fissura, a acidez do eletrólito aumenta na fissura devido às reações de hidrólise dos íons metálicos.

A eletroneutralidade provoca a migração de ânions, tais como íons Cl- em direção à ponta da fissura.

A migração e o gradiente de concentração mantêm estável o estado ativo da ponta da fissura.

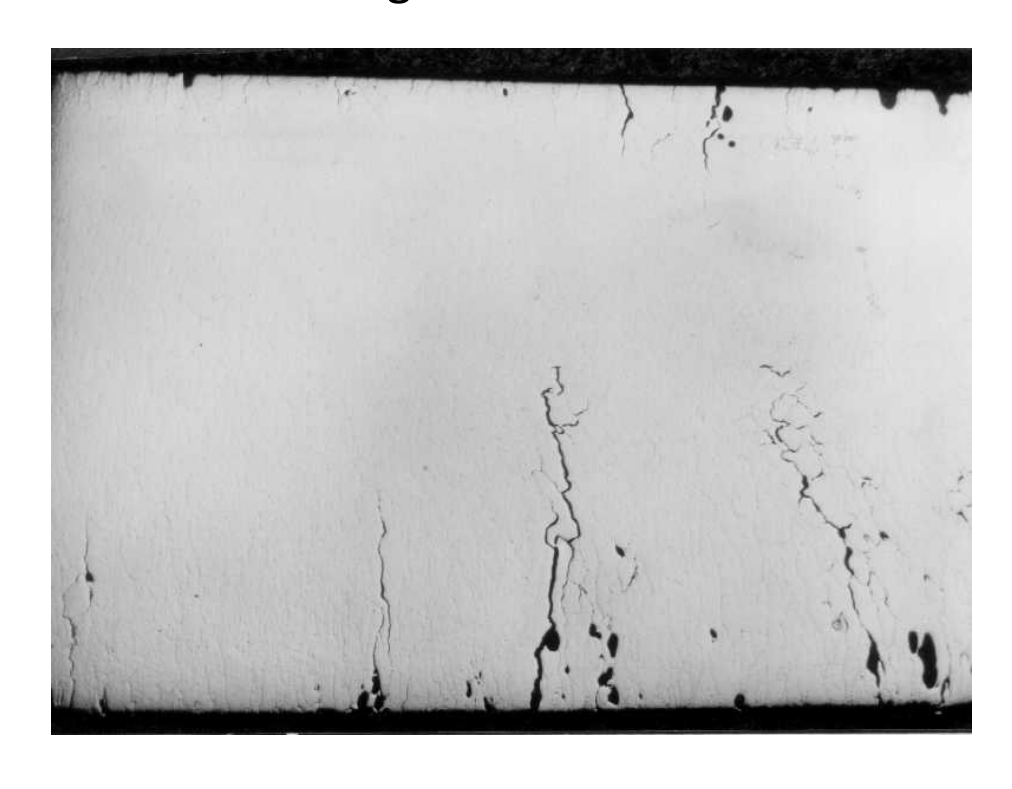


Reações eletroquímicas em uma fissura de um material metálico

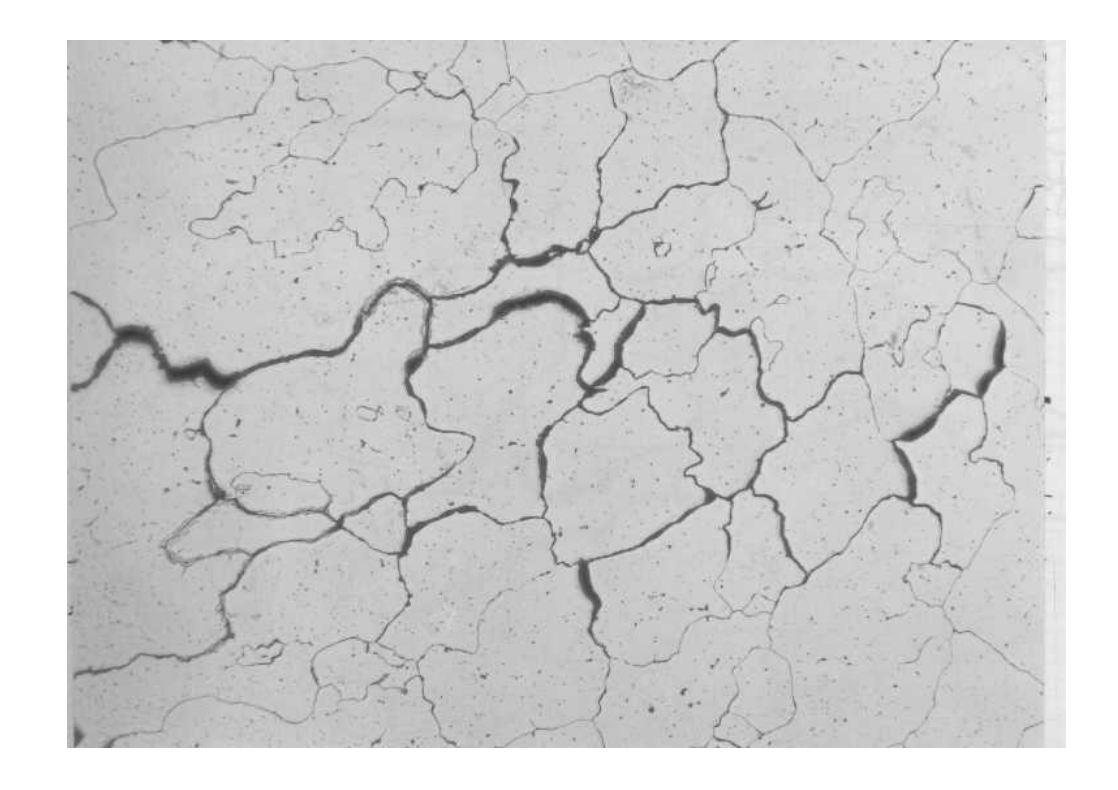


Corrosão sob tensão – Morfologia das trincas

Trinca transgranular devido a SCC



Trinca intergranular devido a SCC





Corrosão sob tensão - Prevenção

- Alterações de projeto redução de concentração de tensão e tensões residuais;
- Utilização de tratamento térmico para alívio de tensões;
- Alteração no ambiente corrosivo: alteração no pH, eliminação de cloretos;
- Utilização de inibidores ou proteção catódica
- Substituição do metal empregado por outro não sujeito à corrosão sob tensão na condições de uso previstas



Corrosão sob fadiga

Limite de fadiga Limite de fadiga N.º DE CICLOS PARA RUPTURA

Ensaio de fadiga ao ar

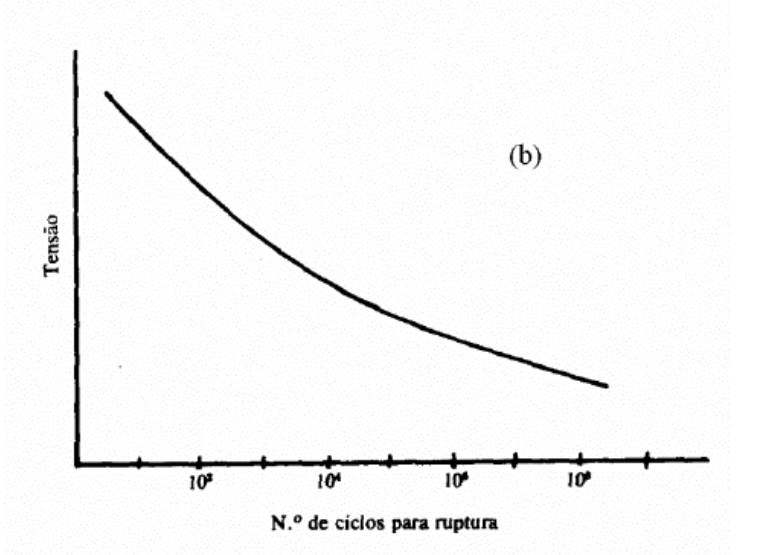
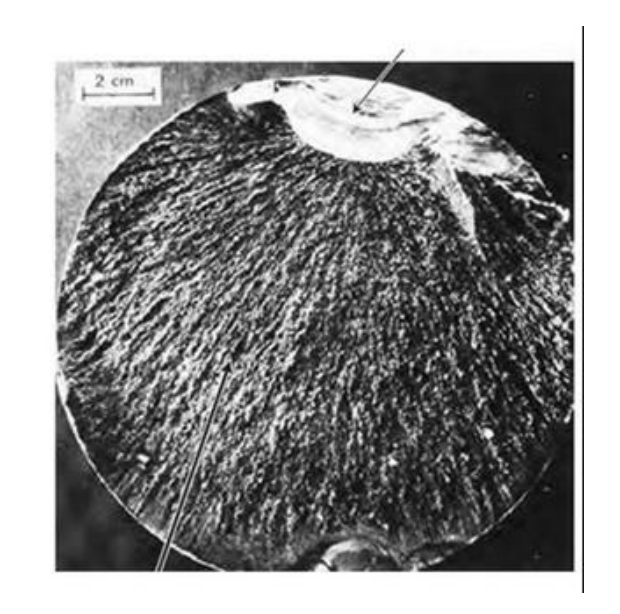


Figura 2.42.: Tensão versus número de ciclos para a ocorrência da ruptura em ensaios de fadiga ao ar e num meio corrosivo

Ensaio de fadiga num meio corrosivo

FRATURA EM FADIGA







Corrosão sob fadiga Mecanismos

- NUCLEAÇÃO DA TRINCA
- PROPAGAÇÃO DA TRINCA
- FRATURA

Quando um metal é submetido a tensão cíclica em um ambiente corrosivo, o número de ciclos necessários para causar falha em uma dada tensão pode ser reduzida bem abaixo da linha pontilhada obtida para o mesmo metal no ar, como mostrado na Fig. 6.48. Esta aceleração da fadiga chamada de "fadiga de corrosão", é revelada pela comparação da linha sólida em Fig. 6.48 com a referência da linha pontilhada.

A curva S-N com corrosão tende a se manter caindo, mesmo com baixas tensões, e, portanto, não se estabiliza, assim como a curva de fadiga comum.

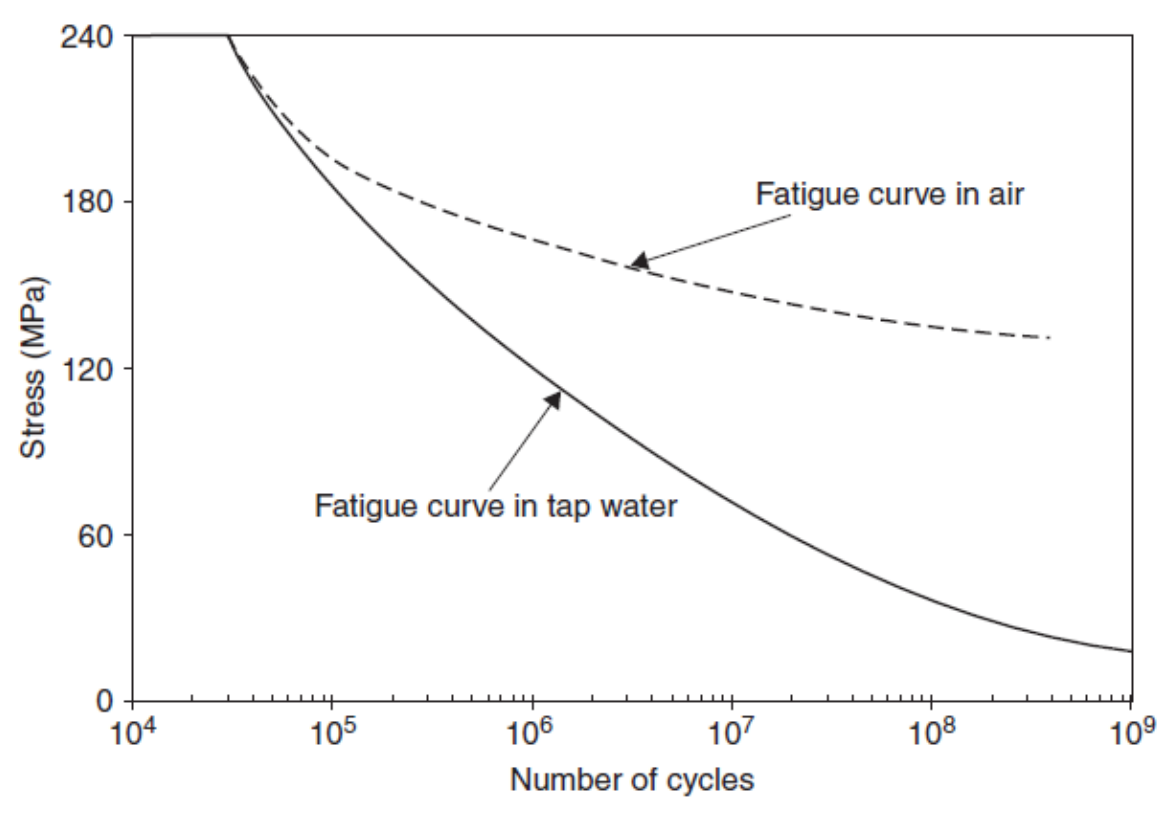


FIGURE 6.48 Fatigue and corrosion fatigue curves for an aluminum alloy [21].



Corrosão sob fadiga Fatores de Influência

DEPENDENCIA MECANISMO CORROSÃO SOB FADIGA

VALOR DA FREQUENCIA

CONDIÇÕES CORROSIVA DO MEIO

CONCENTRAÇÃO DE O₂

TEMPO

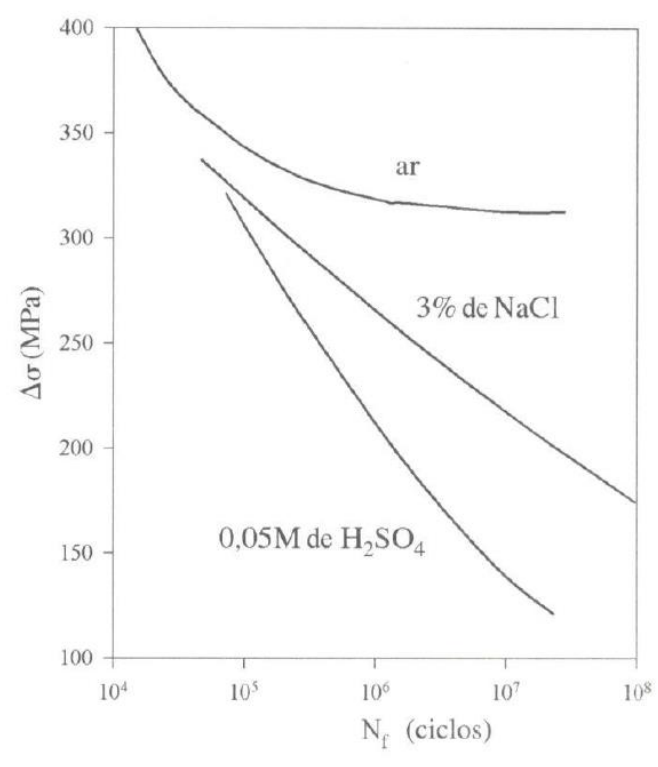


Fig. I.6.26 Influência do meio corrosivo sobre o tempo de ruptura em fadiga de um aço inoxidável austenítico Fe-17Cr-12Ni [211]



Corrosão sob fadiga Fatores de Influência

| MATERIAL | LIMITE DE RE- SISTÊNCIA MNm ⁻² | LIMITE DE RESISTÊNCIA À FADIGA (aproximadamente 5 x 10 ⁷ ciclos) MNm ⁻² | | |
|--|---|---|-----------|-------------|
| | | Ar | Água doce | Água do mar |
| Aço Carbono (0,16%C) | 461,5 | 252,0 | 140,2 | 63,0 |
| Aço Carbono (1,09%C) Aço Ni-Cr (1,5Ni, 0,73 Cr, | 727,7 | 281,1 | 148,1 | |
| 0,28 C) Aço inoxidável (14,5 Cr, | 976,5 | 477,2 | 113,4 | 97,7 |
| 0,23 Ni, 0,38 C) | 661,5 | 365,4 | 252,0 | 252,0 |
| Monel recozido | 574,9 | 252,0 | 182,7 | 196,0 |
| Níquel | 535,5 | 233,1 | 163,8 | _ |
| Duralumínio | 488,3 | 122,9 | 70,9 | 56,7 |
| Bronze aluminoso | 633,2 | 228,4 | 176,4 | 154,4 |
| Cobre recozido | 214,2 | 66,2 | 70,9 | |



FIGURA 4.13. Curvas típicas de corrosão sob fadiga, ilustrando a influência do número de ciclos necessários para produzir fratura em aço inoxidável com 13% Cr(10).



Corrosão sob fadiga Prevenção

- Projeto adequado de componentes, evitar entalhes e estagnação de fluidos, acessibilidade do ar e de outros meios corrosivos;
- Uso de <u>materiais mais resistentes à corrosão</u> como Monel e aço inoxidável. Para o caso de vibração aplicar um material com capacidade de amortecimento mais alta.
- Redução de tensão sobre os componentes. Tratamento térmico aliviadores de tensão ou introdução de tensões de compressão, como cementação ou nitretação, ou por meio de laminação a quente ou por condicionamento superficial por meio de bombardeio de partículas duríssimas;
- <u>Técnicas de revestimento</u> que não induzam tensões de tração e nem carreguem o metal base com hidrogênio.
- Revestimentos orgânicos como pintura e resinas para aço doce;
- Proteção catódica e anódica aumentam o limite de corrosão à fadiga;
- <u>Inibidores químicos</u> da corrosão.